

N 在 γ -Ni/ γ' -Ni₃Al 相界区域的占位趋势与脆化作用

彭黎^{1,2}, 刘云国¹, 杜付明², 文大东², 黄利群³, 彭平²

(1. 湖南大学 环境科学与工程学院, 长沙 410082;
2. 湖南大学 材料科学与工程学院, 长沙 410082;
3. 湖南省气象局 气象培训中心, 长沙 410125)

摘要: 采用第一原理赝势平面波方法研究迹量元素 N 在 γ -Ni/ γ' -Ni₃Al 相界区域的占位趋势及其对相界断裂强度的影响。结果显示: 以气态形式存在的 N 不易掺杂到 Ni/Ni₃Al 相界, 而以固态形式存在的 N 则很容易被掺进 Ni/Ni₃Al 相界; N 在 Ni/Ni₃Al 相界中不仅能稳定存在, 而且掺杂到八面体间隙比置换其中的基体原子具有更高的形成能力与结构稳定性; N 掺杂将削弱 Ni/Ni₃Al 相界的断裂强度, 其中尤以间隙位掺杂最为明显。电子结构分析表明: 置换型掺杂时, 相界断裂强度的降低可归结为 Frenkel 缺陷导致的掺杂相界层间电子相互作用的减弱; 而间隙位掺杂, 除了基体原子间电子相互作用因掺杂原子与基体原子间的强相互作用而减弱外, 晶格畸变导致的局部弹性应变能增加也是一个重要的原因。

关键词: γ -Ni/ γ' -Ni₃Al 相界; N 掺杂; 第一原理计算; 脆化; 电子结构

中图分类号: TG132.32

文献标志码: A

Site preference of N and N-induced embrittlement at γ -Ni/ γ' -Ni₃Al interface

PENG Li^{1,2}, LIU Yun-guo¹, DU Fu-ming², WEN Da-dong², HUANG Li-qun³, PENG Ping²

(1. College of Environmental Science and Engineering, Hunan University, Changsha 410082, China;
2. College of Materials Science and Engineering, Hunan University, Changsha 410082, China;
3. Hunan Meteorological Training Center, Hunan Meteorological Administration, Changsha 410125, China)

Abstract: Using a first-principles plane-wave pseudopotential method, the site preference of N and its influence on the fracture behavior of the γ -Ni/ γ' -Ni₃Al interface were investigated. The results show that the gaseous N₂ is difficult to be joined into the Ni/Ni₃Al interfacial region, but solid N impurity can be easily doped into the Ni/Ni₃Al interface. The N-doped interfacial system can stably exist either for substitution for host atoms or for occupation at octahedral interstices, and N prefers to occupy the octahedral interstitial sites. N-doping, especially at octahedral interstitial sites, makes the fracture strength of the Ni/Ni₃Al interface be weakened. For the substitutional interface, the N-induced embrittlement can be attributed to the decrease of electronic interactions between adjacent atomic layers caused by the Frenkel defect. While in the case of interstitial doping, a multiple influence of a decreasing electronic interaction between host atoms induced by a strong bonding between N and its nearest host atoms and a increased elastic strain energy originated from lattice distortion should be responsible for the harmful effect of N on strengthening of the Ni/Ni₃Al interface.

Key words: γ -Ni/ γ' -Ni₃Al interface; N-doping; first-principle calculation; embrittlement; electronic structure

基金项目: 国家自然科学基金资助项目(50771044, 51071065); 教育部博士点基金资助项目(20100161110001)

收稿日期: 2011-09-19; 修订日期: 2011-10-08

通信作者: 彭平, 教授, 博士; 电话: 13873119465; E-mail: ppeng@hnu.edu.cn

镍基单晶超合金作为先进航空发动机和燃气轮机叶片与涡轮盘的关键材料, 结构主要由 FCC-Ni 固溶体 γ 基体共格析出 L₁₂ 结构 γ' -Ni₃Al 相组成。 γ' -Ni₃Al 析出相与 γ -Ni 基体间的相互作用对镍基单晶超合金的高温性能具有重要影响^[1]。合金化是镍基单晶超合金的主要强化方法, 一般采用添加适量的 Co、Cr、W、Re、Ru 等合金元素来提高其承温能力和力学性能。此外, 合金中还含有几十种微量元素, 即 Zr、Hf、Ca、Mg、P、S、N、He、B、C 等, 它们的含量虽低, 但能显著影响合金组织结构和力学性能^[2-3], 如 B、Zr 能使晶界明显强化, 而 P、S 则诱导合金脆性。 N_2 是镍基超合金制造加工过程中普遍存在的残余气体^[4-5], 在合金中通常以固溶状态或氮化物团簇及颗粒形式存在^[5], 许多实验已经证实迹量元素 N 能够影响镍基单晶超合金的可铸性、持久寿命、冲击韧性以及断裂和拉伸性能, 通常被认为是一类有害元素^[2-6]。鉴于 N 在镍基单晶超合金中的迹量特征, 其微区结构表征与性能测试受到制约, 因此, 目前尚缺乏对其脆化作用与机理的认识。

γ/γ' 相界是镍基单晶超合金中的主要结构缺陷, 在很大程度上决定着镍基单晶超合金的力学性能。由于实验上目前还很难对相界结构的断裂特性进行测定, 也很难对相界区域迹量元素的占位与分布进行测试, 唯一可行的研究方法就是采用基于密度泛函理论(DFT)的第一原理计算。对于 γ -Ni/ γ' -Ni₃Al 相界的掺杂, LIU 等^[7]最先开展了这方面的工作, 采用离散变分法(DVM)与团簇模型, 他们计算了杂质元素 B、C、N、O、H、P 与 S 对 Ni/Ni₃Al 相界结合强度的影响, 发现 N 与 Ni 之间的强共价键虽然在一定程度上削弱了相界区域基体 Ni 原子间的成键强度, 但对 Ni/Ni₃Al 相界仍具有一定的强化作用。采用 DMol3 程序, CHEN 等^[8]进一步研究了 S 掺杂以及 S 和 Re 复合掺杂对 Ni/Ni₃Al 相界的作用, 揭示 S 与 Ni 在相界平面内的强成键导致了相界脆化, 并指出添加 Re 可抑制 S 诱导的相界脆化。同时, CHEN 等^[9]还考查了一系列微合金化元素(Mo、V、Nb、W、Ti、Re、Cr、Ta、Hf、Ru、Ir、Rh、Al)对 γ/γ' 相界的强化作用, 发现大部分合金化元素与最近邻 Ni 原子间的强成键作用都可增强 γ/γ' 相界的剪切强度与聚合强度, 其中改善材料断裂性能最有效的合金化元素是 W。此后, 本课题组采用超胞模型与 CASTEP 总能计算程序, 也考察了 P 和 B 对 Ni/Ni₃Al 相界断裂强度和断裂韧性的影响, 发现 B 能增强 γ/γ' 相界的断裂强度, 而 P 则会显著削弱相界的韧性^[10]。最近, 本文作者进一步考察了 S^[11]在 Ni/Ni₃Al 相界的占位趋势及其对相界断裂特性的影

响, 发现 S 和 P 趋于以置换形式存在, 而不是按先前猜测的以间隙方式择优掺杂, 但两种模式的掺杂都可能出现且能稳定存在; S 掺杂也引起 Ni/Ni₃Al 相界断裂强度与断裂韧性的显著降低。WU 等^[12]采用团簇模型与 DV-X_a 方法研究了 B 与 H 在 Ni 基与 Ni₃Al 基合金中的偏聚行为, 指出 B 诱导的韧化与 H 引起的脆化可以通过调整 γ 与 γ' 相的晶格错配度加以控制。近来, SANYAL 等^[13]采用 VASP 程序分析了 N、H、O 在 Ni/Ni₃Al 相界区中八面体间隙与四面体间隙的占位趋势及其掺杂诱导的脆化作用, 发现 N 原子优先占据相界区域中的八面体间隙, 特别是其中由 6 个 Ni 原子所构成的八面体间隙, 并且指出 N 掺杂引起的局域电子聚集导致了相界解理能的削弱与合金的脆化。然而, SANYAL 等^[13]对 N 掺杂引起的 γ/γ' 相界脆化研究仍不够完善, 没有充分考虑 N 在相界区域的各种可能占位, 也缺乏对各种潜在相间断裂位置的分析, 因此, 有必要对此进行比较系统和深入的研究。

与之前的研究^[10-11]相比, 本文作者采用较大尺度的 Ni/Ni₃Al 相界超胞模型, 进一步减少了界面间相互作用对计算结果的影响; 关于 N 的占位趋势, 除了考虑各种八面体间隙位置外, 还考虑了几个亚晶格点阵位置; 对于相间断裂位置, 则考虑了两种可能的解理断裂, 并重点关注了掺杂引起的局域结构畸变以及由此引起的层间电子相互作用的变化。

1 计算方法与模型

计算采用基于密度泛函理论的第一原理赝势平面波方法 CASTEP(Cambridge serial total energy package) 总能计算程序^[14-15]。基于 HARADA 等^[16]的原子探针-场离子显微镜(AP/FIM)测试结果, 即镍基单晶超合金中 γ/γ' 相界为以 {002} 原子层为中心的共格与半共格界面, 构建了包含两个 γ -Ni/ γ' -Ni₃Al 共格界面的计算模型, 如图 1(a)所示。忽略两个相界之间相互作用的影响, 超胞晶格常数取 γ -Ni 相与 γ' -Ni₃Al 相晶格常数的平均值($a=3.547 \text{ \AA}$)。由于共格(002)原子层同时可看作 γ -Ni 相或 γ' -Ni₃Al 相的表面, 故上述模型存在两种取向关系, 即(002) γ ||{(001) γ' } 和 {(001) γ }||{(002) γ' }。相应地, 存在 4 种表面模型, 即 γ -Ni 相(002)表面与 γ' -Ni₃Al 相(001)表面模型, γ -Ni 相(001)表面与 γ' -Ni₃Al 相(002)表面模型。为了考察 N 在 Ni/Ni₃Al 相界中的占位趋势及其对 Ni/Ni₃Al 相界结构性质的影响, 本文作者进一步构建了 4 个八面体间隙(O-1、O-2、O-3、O-4)掺杂模型与 4 个晶格点阵位(Ni-1、Ni-2、Ni-3、Al-4)替代

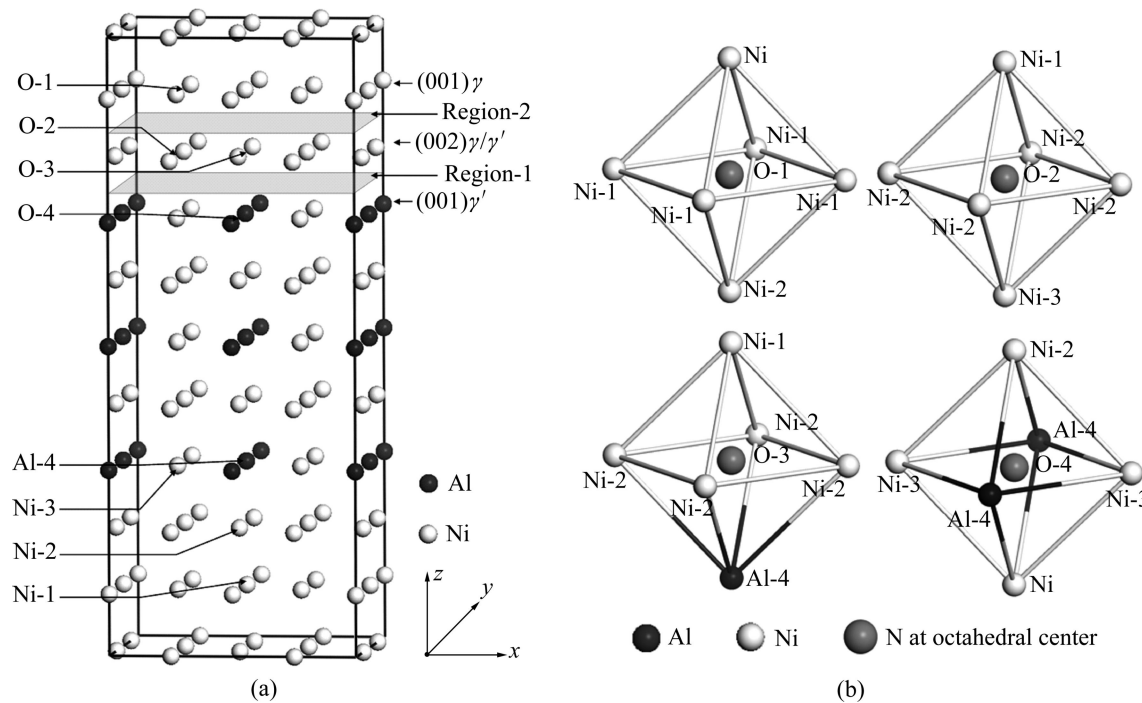


图1 Ni/Ni₃Al相界超胞模型与相界区域八面体间隙示意图

Fig. 1 Ni/Ni₃Al interfacial model of interfacial supercell(a) and typical octahedral interstices in interfacial region(b) (White and black balls denote Ni and Al host atoms, respectively; bigger gray ball denotes N atom doped at octahedral interstitial center)

模型，其中，相界中的八面体及其间隙如图1(b)所示。基于对称性的考虑，所有掺杂相界超胞模型中都掺入了2个N原子，对称地分布在两个相邻相界区域中，各掺杂模型均以其中N原子的掺杂位置命名。

计算采用倒空间表述的超软(Ultrasoft)赝势^[17]，交换关联能采用广义梯度近似(GGA)的PBE(Perdew-Burke-Ernzerh, PBE)形式^[18]，动能截断点取300 eV，采用有限基集修正^[19]以及Pulay密度混合法^[20]。各项计算之前，先用(Broyden-Fletcher-Goldfarb-Shanno, BFGS)方法^[21]进行几何优化。自洽计算(SCF)时，体系总能收敛值取 1.0×10^{-5} eV/atom，每个原子上的力低于0.03 eV/Å，公差偏移小于 1.0×10^{-3} Å，应力偏差小于0.05 GPa。

2 计算结果与分析

2.1 N在相界中的占位趋势

为了确定N在相界区域的存在许可与占位趋势及其结构稳定性，本文作者计算了各Ni/Ni₃Al相界模型的平均形成热H与结合能E^[22]。考虑到合金中的杂质N可能来源于大气中的N₂，也可能来源于固态冶炼原材料，因此，本文作者分别采用式(1)与式(2)计算了气

态N₂与固态HCP-N掺杂Ni/Ni₃Al相界超胞的形成热，并采用式(3)计算了各相界超胞的结合能：

$$H_g = [E_i(n, m, l) - nE(Ni) - mE(Al) - (l/2)E(N_2)] / (n + m + l) \quad (1)$$

$$H_s = [E_i(n, m, l) - nE(Ni) - mE(Al) - lE(N)] / (n + m + l) \quad (2)$$

$$E = -[E_i(n, m, l) - nE_{Ni} - mE_{Al} - lE_N] / (n + m + l) \quad (3)$$

式中：E_i(n, m, l)是各Ni/Ni₃Al相界超胞模型总能；n、m和l是超胞中Ni、Al和N原子个数；E(Ni)、E(Al)、E(N)与E(N₂)分别为固态FCC-Ni、FCC-Al、HCP-N单质晶体中单个原子能量以及单个氮气分子能量；E_{Ni}、E_{Al}与E_N分别是Ni、Al和N原子的平均气态自由能。

表1所列为N掺杂前后各Ni/Ni₃Al相界模型的H和E。从表1可见，所有相界模型的形成热H都为负值，表明无论是气态还是固态的N掺杂到Ni/Ni₃Al相界中，均为放热反应，即在热力学上，气态或固态的N不论是占据Ni/Ni₃Al相界中的八面体间隙位还是置换其中的某个基体原子都是许可的^[10-11]。各N掺杂相界模型中，H_s的值明显大于H_g，即固态N掺杂的Ni/Ni₃Al相界模型形成能力较强，而气态N₂掺杂的形成能力则相对较差。与未掺杂模型(Clean模型)相比，

掺杂 Ni/Ni₃Al 相界模型的 H_g 值相对较小, 而 H_s 值则相对较大, 说明以气体形式存在的 N 不易掺杂到 γ -Ni/ γ' -Ni₃Al 相界中, 而以固体杂质形式存在的 N 则较易掺杂到相界中, 因此, 镍基单晶高温合金中的杂质 N 元素主要来自于固态冶炼原材料, 在合金中以固溶状态形式存在^[5]。根据形成热与形成能力的关系^[22], 可推测 N 在相界区域中不同位置的占位趋势由大到小依次为 O-2、O-1、O-3、Ni-3、O-4、Ni-1、Ni-2、Al-4, 可见, 在 Ni/Ni₃Al 相界中, 与 P 和 S 在 γ -Ni/ γ' -Ni₃Al 相界区的掺杂优先以置换形式存在不同^[11], N 原子将优先占据其中的八面体间隙位, 特别是由 6 个 Ni 原子构成的八面体间隙(如 O-2、O-1)。

根据结合能的比较, 各掺杂 Ni/Ni₃Al 相界模型的结构稳定性由高到低的趋势为 O-2、O-1、O-3、O-4、Ni-3、Al-4、Clean、Ni-1、Ni-2, 可见 N 掺杂在八面体间隙位同样比其置换 Ni 或 Al 原子时更为稳定。其中 N 对 γ -Ni 相区(001) γ 层与(002) γ/γ' 层中 Ni 原子的置换, 即 Ni-1 和 Ni-2 相界模型, 表 1 显示它们的结构稳定性比掺杂前清洁界面还差, 说明 Ni-1 和 Ni-2 虽然可能形成, 但不能稳定存在, 可能会发生朝邻近八面体间隙位的迁移。

关于掺杂 N 原子在相界区域八面体间隙位的偏聚趋势, 本文作者采用下式进一步计算了掺杂 N 原子在各八面体间隙位中的平均固态溶解能 δ ^[13]:

$$\delta = (\Delta E_{\text{doping}} - \Delta E_{\text{clean}})/l = [E_i(m, n, l) - E_i(m, n) - lE_N]/l \quad (4)$$

式中: ΔE_{doping} 与 ΔE_{clean} 分别为掺杂与未掺杂体系的结合能, 计算结果如表 1 所列。各八面体间隙位掺杂相界模型中, N 的溶解能 δ 均为负值, 表明 N 原子具有

表 1 Ni/Ni₃Al 相界的形成热 H 、结合能 E 与溶解能 δ

Table 1 Heat of formation H , cohesive energy E and solution energy δ per atom

Model	H_g/eV	H_s/eV	E/eV	δ/eV
Clean	-0.299 9	-0.299 9	5.926 5	-
Ni-1	-0.237 3	-0.425 3	5.914 2	-
Ni-2	-0.221 7	-0.409 6	5.898 6	-
Ni-3	-0.280 3	-0.468 3	5.957 2	-
Al-4	-0.213 3	-0.401 4	5.945 7	-
O-1	-0.295 9	-0.479 3	5.979 7	-8.106 7
O-2	-0.299 2	-0.482 6	5.983 0	-8.241 7
O-3	-0.287 8	-0.471 2	5.971 6	-7.776 7
O-4	-0.279 0	-0.462 4	5.962 8	-7.436 7

偏聚到相界中八面体间隙位的趋势。溶解能数值越大, 掺杂原子在相界或晶界的偏聚趋势也就越大^[13, 23], 因此, N 原子在相界中掺杂的偏聚趋势由大到小依次为(002) γ/γ' 层中 O-2 位置、 γ 相中(001) γ 层的 O-1 位置、(002) γ/γ' 层中的 O-3 位置、 γ' -Ni₃Al 相中(001) γ' 的 O-4 位置。为此, 关于 N 掺杂对 Ni/Ni₃Al 相界断裂特性影响的研究将重点关注 N 偏聚在 γ 相区与(002) γ/γ' 共格原子层内的情形。

2.2 N 掺杂 Ni/Ni₃Al 相界超胞的应力弛豫

表 2 和 3 所列分别为各 Ni/Ni₃Al 超胞模型几何优化以后掺杂 N 原子与部分基体原子的相对位移及相界区域的部分原子层间距。从表 2 中可见, 当 N 原子置换相界中的基体 Ni 或 Al 原子后, 没有引起相界区域基体原子相对位置的明显变化, 仅仅是掺杂原子本身

表 2 掺杂 N 原子及部分基体原子的相对位移

Table 2 Relative displacement of doped N and host atoms

Layer	Atom	Relative displacement/%							
		Ni-1	Ni-2	Ni-3	Al-4	O-1	O-2	O-3	O-4
(001) γ	Ni	-	-	-	-	(2.31) ¹⁾	-3.27	-5.75	-
	N	-41.70	-	-	-	1.99	-	-	-
(002) γ/γ'	Ni	-	-	-	-	1.61	(1.87) ¹⁾	(1.99) ¹⁾	-2.17
	N	-	2.28	-	-	-	-3.06	-3.45	-
	Ni	-	-	-	-	-	-	-	(4.92) ¹⁾
(001) γ'	Al	-	-	-	-	-	-	7.83	(9.15) ¹⁾
	N	-	-	96.49	82.87	-	-	-	1.18

Positive and negative values represent displacement toward and away from coherent interfacial layer, respectively, in Z direction.

1) Relative displacement of host atoms adjacent to N-doping in X or Y direction.

表3 Ni/Ni₃Al相界中 γ -Ni相、 γ' -Ni₃Al相、区域1与区域2中的原子层间距

Table 3 Space between atomic layers in γ -Ni phase, γ' -Ni₃Al phase, Region-1 and Region-2 at Ni/Ni₃Al interfacial models

Model	Space/Å			
	Ni-block	Region-2	Region-1	Ni ₃ Al-block
Clean	1.748	1.770	1.814	1.797
O-1	1.823	1.806	1.797	1.805
O-2	1.735	1.832	1.821	1.824
O-3	1.778	1.798	1.853	1.789
O-4	1.747	1.750	1.826	1.858
Ni-1	1.753	1.754	1.815	1.799
Ni-2	1.754	1.761	1.801	1.798
Ni-3	1.754	1.744	1.812	1.825
Al-4	1.738	1.765	1.785	1.856

偏离了其正常格点位置。虽然当N原子占据共格(002) γ/γ' 层中的Ni-2点阵位时，掺杂原子在优化后只发生微小位移，仅在Z轴朝 γ' -Ni₃Al相方向移动2.28%，但当N原子置换(001) γ 或(001) γ' 层中的基体时，掺杂N原子在优化后却发生了明显位移，如在Ni-1模型中，N朝 γ -Ni相方向移动了41.70%，而在Ni-3与Al-4模型中，朝 γ' -Ni₃Al相方向甚至移动了96.49%与82.87%，基本进入到 γ' -Ni₃Al相内部。这说明位于 γ -Ni相与 γ' -Ni₃Al相(001)层中点阵位的N原子是不稳定的，具有朝内部间隙位扩散形成Frenkel缺陷的强烈趋势。

在间隙位掺杂模型中，位于相界区域八面体间隙中心的N原子与置换位掺杂时相比，其相对位移较小，但其近邻基体原子大部分被推离原有位置^[13]。如在O-3模型中，当N原子掺杂到共格(002) γ/γ' 层中由5个Ni和1个Al原子所构成的八面体中心位时，其同层近邻Ni原子背向掺杂N原子移动了1.99%，其上下顶点Ni与Al原子分别朝 γ -Ni相与 γ' -Ni₃Al相方向移动了5.75%与7.83%。此时，N原子偏离八面体中心位置，N虽与同层4个八面体顶点位Ni原子键长相等(1.866 Å)，但与上下顶点Ni和Al原子间的键长则分别变成了1.838 Å和2.005 Å，明显可见N掺杂引起的相界区域八面体结构畸变。

相界区域N掺杂引起的局域原子结构畸变同时也导致了相界区域原子层间距不同程度的变化，结果如表3所示。掺杂前，清洁界面模型中区域1的原子层间距(1.814 Å)大于区域2的层间距(1.770 Å)，(001) γ

与(002) γ/γ' 原子层之间较小的层间距表明区域2更容易形成较强的层间键合作用。置换型掺杂后，掺杂N原子虽然发生了明显位移，但其他基体原子相对位置变化很小，与掺杂前相比，区域1与区域2的层间距变化不大。间隙位掺杂时，掺杂使其周围近邻原子发生了明显位移，N原子与八面体顶点基体原子在Z轴方向上的强成键导致了相界原子层间距的改变。如在O-3模型中，位于共格(002) γ/γ' 层中的N原子与(001) γ 与(001) γ' 层中的最近邻Ni-2与Al-4原子形成了不同键长的N—Ni键与N—Al键，Ni与Al原子分别向 γ -Ni相与 γ' -Ni₃Al相方向发生了明显位移，而掺杂N原子本身也偏离其初始位置向 γ -Ni相方向移动了3.45%。这些原子的位置变化，必然引起相界区域的层间距改变。与掺杂前相比，O-3模型区域1与区域2的层间距都显著增加了。实际上，N在Ni/Ni₃Al相界的间隙位掺杂大多会引起相界区域1与区域2中原子层间距的显著增大，原子层间距的增大一方面将削弱层间相互作用强度，另一方面使得相界区域弹性应变能增大^[11-12, 24]，进一步削弱相界区域的层间结合强度。无疑地，原子位置与层间距的变化势必导致相界区域电子结构的变化，改变相界的断裂特性。

2.3 Ni/Ni₃Al相界的Griffith断裂功

γ/γ' 相界作为Ni基单晶超合金中唯一存在的面缺陷，是镍基单晶超合金中最脆弱的区域。在Ni基单晶超合金中，无论是 γ 相的解理断裂还是 γ' 相的穿晶断裂，其裂纹扩展都必然横穿 γ/γ' 相界，因此， γ/γ' 相界的结合强度一定程度上也可表征Ni基单晶超合金材料的断裂强度^[10-11]。本文采用Griffith断裂功来表征Ni/Ni₃Al相界的结合强度，Griffith断裂功指沿某一表面将晶体撕开所需要的能量^[25]，可通过下式计算得到：

$$W = (-1/2S_i) \cdot [E_i(n, m, l) - E_S^\gamma(n_\gamma, m_\gamma, l_\gamma) - E_S^{\gamma'}(n_{\gamma'}, m_{\gamma'}, l_{\gamma'})] \quad (5)$$

式中： $S_i = a \times b$ 为共格界面(002) γ/γ' 原子层的面积； a 和 b 是超胞沿X和Y轴方向的晶格常数； $E_S^\gamma(n_\gamma, m_\gamma, l_\gamma)$ 和 $E_S^{\gamma'}(n_{\gamma'}, m_{\gamma'}, l_{\gamma'})$ 分别是 γ -Ni相和 γ' -Ni₃Al相表面模型的总能量； n 、 m 及 l 分别表示Ni、Al及N原子的个数，且 $l = l_\gamma + l_{\gamma'}$ 、 $m = m_\gamma + m_{\gamma'}$ 、 $n = n_\gamma + n_{\gamma'}$ 。

考虑到 γ/γ' 相界存在两种取向关系，即共格(002) γ/γ' 层与(001) γ' 层之间的区域1，以及共格(002) γ/γ' 层与(001) γ 层之间的区域2，因此，存在区域1与区域2两种潜在的相间断裂位置^[10-11]，其中Griffith断裂功 W 较小的区域就是相界的断裂位置，其断裂功即

为相界的断裂强度。表4所列为掺杂前后Ni/Ni₃Al相界模型区域1与区域2的Griffith断裂功W。

在清洁界面Clean模型中,区域1的断裂功小于区域2的,表明清洁界面的断裂发生在区域1^[10-11],区域1的断裂功(4.368 J/m²)即为清洁相界模型的断裂强度。对于N掺杂的情形,由表4可看出:大部分N掺杂Ni/Ni₃Al相界模型区域1的Griffith断裂功都比区域2小,说明N掺杂基本上没有改变Ni/Ni₃Al相界的断裂区域,其断裂位置仍为(001) γ' 与(002) γ/γ' 层之间的区域1;仅当N掺杂在 γ -Ni相区置换(001) γ 层中的Ni-1原子或占据八面体间隙O-1位时,相界区域2的断裂功比区域1的小,相界的断裂位置发生改变,由掺杂前的区域1变成了区域2。进一步的比较发现:除了N位于共格(002) γ/γ' 界面层中的情况,即O-2、O-3、Ni-2模型,其他N掺杂模型的断裂位置均为掺杂N原子所在原子层与共格界面原子层之间的相界区域,如在模型O-1中,掺杂N原子位于(001) γ 原子层内,掺杂相界的断裂位置出现在(001) γ 与(002) γ/γ' 层之间的区域2,而在模型O-4中,掺杂N原子位于(001) γ' 原子层内,掺杂相界的断裂位置则出现在(001) γ' 与

(002) γ/γ' 间的区域1,这似乎暗示着相界断裂位置与N掺杂诱导的该区域层间结合强度的减弱有关。

由表4可知,掺杂相界断裂强度由低到高的顺序为O-3、O-2、Ni-2、O-4、O-1、Al-4、Ni-1、Ni-3、Clean。可见,掺杂相界的断裂强度与掺杂前相比均有所降低,这表明N对Ni/Ni₃Al相界的断裂强度具有显著的削弱作用,其中间隙型掺杂比置换位掺杂的削弱作用更为明显。此外,在占位趋势与稳定性较高的各八面体间隙位中,当N原子位于 γ -Ni相区或 γ' -Ni₃Al相区中的八面体间隙时,如O-1与O-4模型, γ -Ni/ γ' -Ni₃Al相界的断裂强度相对较高,与掺杂前相比,只降低了5.04%与5.95%;但当掺杂N原子位于共格(002) γ/γ' 层时,如O-2和O-3模型,N掺杂对Ni/Ni₃Al相界断裂强度的削弱则比较明显,与掺杂前相比,O-2与O-3模型的断裂强度分别降低了9.07%与12.70%。从2.1节的计算结果可知,N在Ni/Ni₃Al相界的八面体间隙位具有高形成趋势与结构稳定性,特别是其中具有高偏聚能的O-2与O-3八面体间隙,因此,N掺杂对镍基单晶超合金的强化来说的确是一种有害的杂质元素^[2-6],应该严格控制。

表4 Ni/Ni₃Al相界超胞与相应表面模型总能量E_i与E_s、相界截面积S_i以及相界不同区域Griffith断裂功W

Table 4 Total energies of Ni/Ni₃Al interfacial supercells (E_i) and corresponding surface models (E_s), interfacial areas (S_i) as well as Griffith rupture works (W) in different regions

Model	Site	E _i /eV	E _s ^{γ} /eV	E _s ^{γ'} /eV	S _i /Å ²	W/(J·m ⁻²)
Clean	Region-1	-92 794.21	-54 158.00	-38 608.36	51.00	4.368
	Region-2		-32 488.96	-60 276.02		4.585
O-1	Region-1	-93 335.64	-54 698.95	-38 608.29	51.43	4.417
	Region-2		-33 033.27	-60 275.80		4.132
O-2	Region-1	-93 335.91	-54 702.07	-38 608.20	51.64	3.972
	Region-2		-32 488.72	-60 820.76		4.095
O-3	Region-1	-93 334.98	-54 702.19	-38 608.23	51.46	3.818
	Region-2		-32 488.83	-60 819.85		4.088
O-4	Region-1	-93 334.26	-54 157.59	-39 150.14	51.67	4.108
	Region-2		-32 488.86	-60 815.61		4.612
Ni-1	Region-1	-90 621.74	-51 985.37	-38 608.33	50.94	4.404
	Region-2		-30 318.69	-60 276.05		4.240
Ni-2	Region-1	-90 620.49	-51 986.16	-38 608.43	50.61	4.094
	Region-2		-32 489.09	-58 105.36		4.116
Ni-3	Region-1	-90 625.18	-54 157.89	-36 439.97	51.09	4.278
	Region-2		-32 489.09	-58 106.87		4.576
Al-4	Region-1	-93 215.61	-54 158.06	-39 030.85	50.90	4.197
	Region-2		-32 489.02	-60 697.38		4.591

2.4 相界面断裂位置与断裂强度的电子结构分析

为了分析N掺杂对Ni/Ni₃Al相界区域电子相互作用的影响,本文作者进一步计算掺杂前后Ni/Ni₃Al相界超胞中的电子密度分布与相界区域不同原子层的投射电子态密度。图2所示为清洁与部分掺杂相界的电子密度分布图。其中,在Clean、Ni-1、O-3模型中,所选平面为垂直于相界的(200)平面,在O-1与Ni-3模型中,该平面则分别为(020)与(400)平面。图3所示为相应模型区域1与区域2中(001) γ 、(002) γ/γ' 和(001) γ' 原子层的投射电子态密度。

从图2(a)可见,在清洁相界中, γ -Ni相中Ni原子周围的电子分布呈现出各向同性的特点,其中Ni原子间的相互作用主要是金属键,在 γ' -Ni₃Al相区中,最近邻(FNN)Ni-Al原子间的相互作用强于 γ -Ni相区中最近邻Ni-Ni原子间的电子相互作用,并且明显可见Ni-Al原子间因p-d电子杂化[10]而导致的(002) γ/γ' 原子层上Ni-d电子的各向异性,Ni原子周围电子分布表现出较为明显的方向性,电子在Ni-Al之间聚集,其相互作用主要是共价键。相界区域1价电子分布较少,区域2价电子分布相对较多,暗示区域2的电子相互作用很可能比区域1大。图3的层投射电子态密度也确实证实区域2的层间电子相互作用(即费米能级E_F附近的电子态密度重叠程度)明显强于区域1的,因此,相间断裂发生在区域1(见表4)。

对于置换型掺杂,表2表明,除Ni-2模型外,在

Ni-1、Ni-3与Al-4模型中,N原子均明显偏离其初始晶格位置。以Ni-1模型为例,从图2(b)可见,N原子由(001) γ 层中的Ni点阵位迁移到了 γ -Ni相内的近O-1间隙位,在(001) γ 层留下一个Ni-1空位,形成了一个“近Frenkel缺陷”,该处电子密度较低。进入 γ -Ni相内部的掺杂N原子与 γ -Ni相中的Ni原子间形成了很强的电子相互作用,在区域2,N与界面层(002) γ/γ' 中Ni原子间的电子相互作用则明显减弱,从而导致(001) γ 与(002) γ/γ' 层间电子相互作用降低。因此,在受到较大应力时,容易发生断裂,成为相界新的断裂位置。相反,在Ni-3模型中(图2(c)),掺杂N原子向 γ' -Ni₃Al相内部的近O-2间隙位迁移,在(001) γ' 层形成Ni-3空位,空位所在相界区域区域1的电子密度相对较低,电子相互作用较弱,因此相界断裂位置依然为区域1。

在间隙位掺杂情况下,从图2可见,掺杂原子与周围基体原子相距较近,电子相互作用较强,如在O-1模型中(图2(d)),N原子在 γ -Ni相区由6个Ni原子组成的八面体间隙中,电子在N与其最近邻基体Ni原子间聚集,形成了较强的共价键^[7]。但同时也可看出:区域2中(001) γ 与(002) γ/γ' 层基体Ni原子间的成键电子比掺杂前明显减少了。图3中区域2电子相互作用的减弱主要体现在(001) γ 层E_F附近的价电子数减少,部分电子迁移到了-9.0~6.0 eV之间的低能区,甚至在-13.0 eV以下,也存在少量电子。这种N掺杂诱导

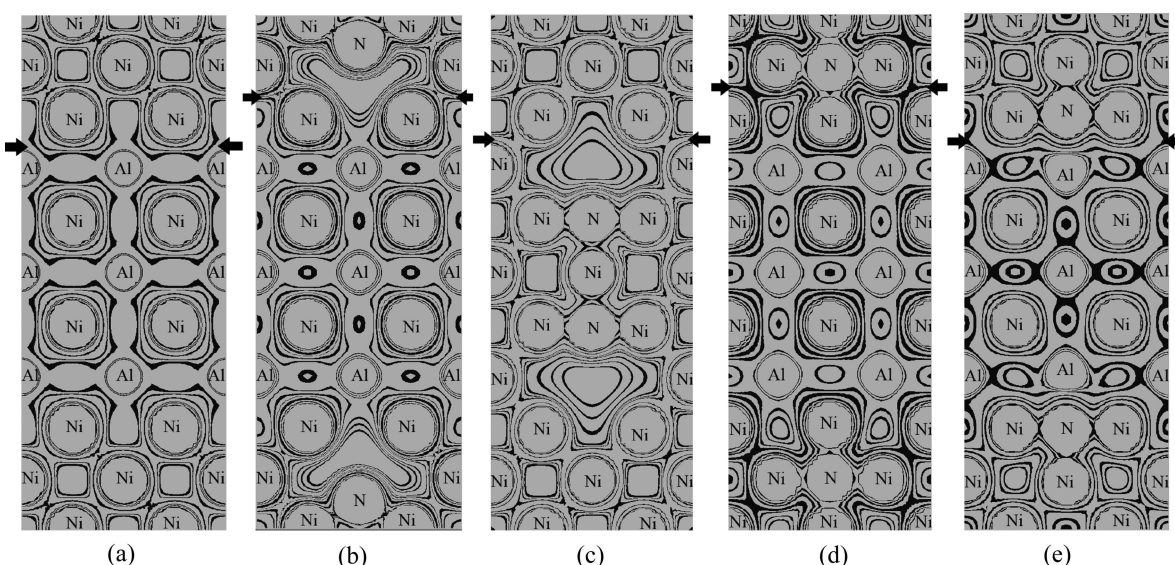


图2 Ni/Ni₃Al相界模型总电子密度图

Fig. 2 Total valence charge density contour plots of Ni/Ni₃Al phase interface model (Region labeled by arrows is fracture region of corresponding interfacial model): (a) Clean model, (200) plane; (b) Ni-1 model, (200) plane; (c) Ni-3 model, (400) plane; (d) O-1 model, (020) plane; (e) O-3 model, (200) plane

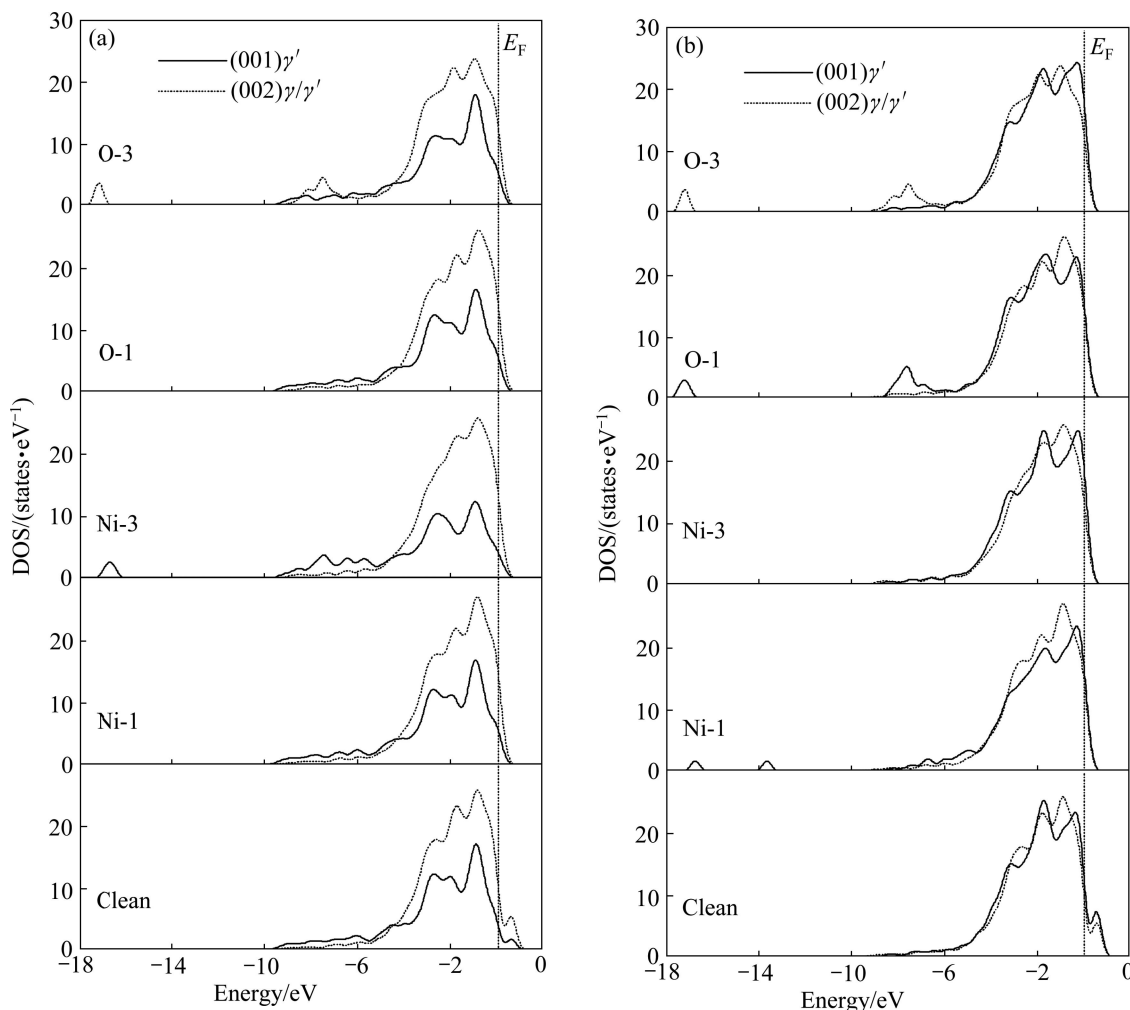


图3 相界区域原子层的投射电子态密度

Fig. 3 Projective densities of electronic states of atomic layers at Ni/Ni₃Al interface models: (a) Region-1; (b) Region-2

的局域电子由高能区向低能区的迁移,很大程度上削弱了区域2中Ni—Ni原子间的金属键强度,使得表4中O-1模型区域2的Griffith断裂功由掺杂前的4.585 J/m²降低到4.132 J/m²,并低于区域1的断裂功。此外,间隙位掺杂还引起了基体原子显著位移,导致原子层间距增大,原子层间距的增大将导致这两个相界区域弹性应变能的升高[11],进一步削弱相界的断裂强度。因此,决定 γ -Ni/ γ' -Ni₃Al相间断裂位置的主要因素除了界面区域的局域电子相互作用能外,还有界面区域局域弹性应变能的作用。

当N位于O-3间隙位时,图2(e)显示:掺杂原子与共格(002) γ/γ' 层以及 γ -Ni相(001) γ 层中部分Ni原子间的电子相互作用非常强烈,但与 γ' -Ni₃Al相中(001) γ' 层内N最近邻Al原子间的电子相互作用则相对较弱,相界区域1中的电子密度明显比区域2的低,区域1

的电子相互作用比区域2的小,因此相间断裂发生在区域1。此外,掺杂八面体的上下顶点Ni与Al分别向 γ -Ni与 γ' -Ni₃Al相的位移还引起了区域2与区域1层间距的增大(见表2和3)和局域弹性应变能的升高,从而使相界结合强度被进一步削弱,因此出现表4所示区域1与区域2的Griffith断裂功与掺杂前相比都明显降低的计算结果。

由上可见,置换型掺杂时,N掺杂 γ -Ni/ γ' -Ni₃Al相界断裂强度的降低主要源于掺杂原子偏离置换位的迁移,导致其原置换位形成空位,价电子减少,引起掺杂相界区域层间电子相互作用能的减弱;而在间隙位掺杂时,N原子与其近邻原子间的强相互作用一方面削弱了基体原子之间的成键强度,同时还引起相界的晶格畸变与区域原子层间距的增大,进而导致相界区域局域弹性应变能增加,进一步降低相界区域的层

间结合强度，因此表现出比置换型掺杂更明显的脆化作用。

3 结论

1) 气体形式的N不易掺杂到 γ -Ni/ γ' -Ni₃Al相界区域中，而以固态形式存在的N则较易掺杂至相界中；N在Ni/Ni₃Al相界能稳定存在；其中N原子掺杂到相界区域的八面体间隙比置换其中的基体Ni或Al原子具有更高的形成能力与结构稳定性。

2) 间隙位掺杂引起Ni/Ni₃Al相界明显的晶格畸变，导致原子层间距的增大与局域弹性应变能的增加；置换型掺杂时，N原子具有向 γ -Ni相或 γ' -Ni₃Al相内部最近邻八面体间隙位扩散形成Frenkel缺陷的趋势。

3) N掺杂将不同程度地削弱Ni/Ni₃Al相界的断裂强度。相对于置换型掺杂，八面体间隙位掺杂时相界的断裂强度下降得更多，其中尤以具有高形成能力的O-2与O-3间隙位最为明显，证实N对于Ni/Ni₃Al相界的强化确实是一种有害杂质。

4) 置换型掺杂时，相界断裂强度的降低可归结于Frenkel缺陷导致的掺杂相界层间电子相互作用的减弱；而对于间隙位掺杂，除了基体原子间电子相互作用因掺杂原子与基体原子间的强相互作用而减弱外，晶格畸变导致的局域弹性应变能的增加也是一个重要原因。

REFERENCES

- [1] YAMABE-MITARAI Y Y, RO Y, MARUKO T, HARADA H. Ir-base refractory superalloys for ultra-high temperatures[J]. Metallurgical and Materials Transactions A, 1998, 29: 537–549.
- [2] 郭建亭. 高温合金材料学[M]. 北京：科学出版社，2008: 168–195.
- GUO Jian-ting. Materials science and engineering for superalloys[M]. Beijing: Science Press, 2008: 168–195.
- [3] HOLT R T, WALLACE W. Impurities and trace elements in nickel-base superalloys[J]. International Metals Reviews, 1976, 21: 1–24.
- [4] HARRIS K, WAHL J B. Developments in superalloy castability and new applications for advanced superalloys[J]. Materials Science and Technology, 2009, 25: 147–153.
- [5] 袁超, 郭建亭, 李古松, 周兰章, 葛云超, 王巍. 铸造高温合金中氮的影响机理与控制[J]. 中国有色金属学报, 2011, 21: 733–746.
- YUAN Chao, GUO Jian-ting, LI Gu-song, ZHOU Lan-zhang, GE Yun-chao, WANG Wei. Effect mechanism and control of nitrogen in cast superalloys[J]. The Chinese Journal of Nonferrous Metals, 2011, 21: 733–746.
- [6] 牛建平, 杨克努, 孙晓峰, 金涛, 管恒荣, 胡壮麒. 镍基高温合金真空感应熔炼脱氮与脱硫[J]. 稀有金属材料与工程, 2003, 32: 63–66.
- NIU Jian-ping, YANG Ke-nu, SUN Xiao-feng, JIN Tao, GUAN Heng-rong, HU Zhuang-qi. Denitrogenation and desulphurization in VIM for Ni-base superalloy refining[J]. Rare Metal Materials and Engineering, 2003, 32: 63–66.
- [7] LIU Y, CHEN K Y, LU G, ZHNAG J H, HU Z Q. Impurity effects on the Ni/Ni₃Al interface cohesion[J]. Acta Materialia, 1997, 45: 1837–1849.
- [8] CHEN K, ZHAO L R, TSE J S. Sulfur embrittlement on γ/γ' interface of Ni-base single crystal superalloys[J]. Acta Materialia, 2003, 51: 1079–1086.
- [9] CHEN K, ZHAO L R, TSE J S. A first-principles survey of γ/γ' interface strengthening by alloying elements in single crystal Ni-base superalloys[J]. Materials Science and Engineering A, 2004, 365: 80–84.
- [10] PENG P, ZHOU D W, LIU J S, YANG R, HU Z Q. First-principles study of the properties of Ni/Ni₃Al interface doped with B or P[J]. Materials Science and Engineering A, 2006, 416: 169–175.
- [11] PENG L, PENG P, WEN D D, LIU Y G, WEI H, SUN X F, HU Z Q. Site preference of S-doping and its influence on the properties of a Ni/Ni₃Al interface[J]. Modelling and Simulation in Materials Science and Engineering, 2011, 19: 065002.
- [12] WU Y X, LI X Y, WANG Y M. First-principles study of the influence of lattice misfit on the segregation behaviors of hydrogen and boron in the Ni-Ni₃Al system[J]. Acta Materialia, 2007, 55: 4845–4852.
- [13] SANYAL S, WAGHMARE U V, SUBRAMANIAN P R, GIGLIOTTI M F X. First-principles understanding of environmental embrittlement of the Ni/Ni₃Al interface[J]. Scripta Materialia, 2010, 63: 391–394.
- [14] PAYNE M C, TETER M P, ALLAN D C, ARIAS T A, JOANNOPOULOS J D. Iterative minimization techniques for ab initio total-energy calculations: Molecular dynamics and conjugate gradients[J]. Reviews of Modern Physics, 1992, 64: 1045–1097.
- [15] SEGALL M D, LINDAN P J D, PROBERT M J, PICKARD C J, HASNIP P J, CLARK S J, PAYNE M C. First-principles simulation: Ideas, illustrations and the CASTEP code[J]. Journal of Physics: Condensed Matter, 2002, 14: 2717–2744.
- [16] HARADA H, ISHIDA A, MURAKAMI Y, BHADDESHIA H K D H, YAMAZAKI M. Atom-probe microanalysis of a nickel-base

- single crystal superalloy[J]. Applied Surface Science, 1993, 67: 299–304.
- [17] VANDERBILT D. Soft self-consistent pseudopotentials in a generalized eigenvalue formalism[J]. Physical Review B, 1990, 41: 7892–7895.
- [18] PERDEW J P, BURKE K, ERNZERHOF M. Generalized gradient approximation made simple[J]. Physical Review Letters, 1996, 77: 3865–3868.
- [19] FRANCIS G P, PAYNE M C. Finite basis set corrections to total energy pseudopotential calculations[J]. Journal of Physics: Condensed Matter, 1990, 2: 4395–4404.
- [20] PULAY P. Ab initio calculation of force constants and equilibrium geometries in polyatomic molecules[J]. Molecular Physics, 1969, 17: 197–204.
- [21] FISCHER T H, ALMLÖF J. General methods for geometry and wave function optimization[J]. The Journal of Physical Chemistry, 1992, 96: 9768–9774.
- [22] SAHU B R. Electronic structure and bonding of ultralight LiMg[J]. Materials Science and Engineering B, 1997, 49: 74–78.
- [23] ZHANG W, SMITH J R, WANG X G, EVANS A G. Influence of sulfur on the adhesion of the nickel/alumina interface[J]. Physical Review B, 2003, 67: 245414.
- [24] PENG P, JIN Z H, YANG R, HU Z Q. First principles study of effect of lattice misfit on the bonding strength of Ni/Ni₃Al interface[J]. Journal of Materials Science, 2004, 39: 3957–3963.
- [25] HU Q M, YANG R, XU D S, HAO Y L, LI D, WU W T. Energetics and electronic structure of grain boundaries and surfaces of B- and H-doped Ni₃Al[J]. Physical Review B, 2003, 67: 224203.

(编辑 李艳红)